

**PA30) 제주도 고산지역에서 측정한 라돈 농도의 변동 특성:
2001-2005년 측정**

**Variation Characteristics of Radon Concentration
Measured at Gosan Site, Jeju during 2001-2005**

고희정 · 강창희 · 김원형 · 이민영 · 조은경 · 송정민 · W. Zahorowski¹⁾

제주대학교 화학과, ¹⁾Australian Nuclear Science and Technology Organisation

1. 서 론

우라늄(²³⁸U), 라듐(²²⁶Ra) 등의 붕괴과정에서 발생하는 라돈(²²²Rn)은 자연계에 널리 분포하는 자연 방사성 물질이다. 불활성 기체인 라돈은 α 붕괴에 의해 3.82일의 반감기로 붕괴하고, 기체상으로 존재하기 때문에 대기 중에서 기류를 타고 멀리 이동할 수 있다. 그리고 발생기원이 지각물질이기 때문에 해양에서 이동한 공기에 의해 대륙에서 생성된 공기에서 더 높은 농도를 나타낸다. 특히 ²²²Rn은 NO_x, SO₂, CO, O₃ 등의 대기오염물질들과 비슷한 수명을 나타내고, 대기에어로졸의 체류시간과도 유사한 수명을 나타내기 때문에, 대기오염물질의 이동경로를 확인하기 위한 추적자(tracer)로 활용되기도 한다(Zahorowski et al., 2005; Zahorowski et al., 2004). 본 연구는 국내 청정지역인 제주도 고산 지역에 라돈 검출기를 설치하여, 2001년부터 2005년까지 지속적으로 ²²²Rn 농도를 실시간으로 모니터링한 결과이다. 그리고 측정 결과로부터 국내 청정지역의 라돈 농도 특성을 고찰하고, 라돈 성분의 발생기원 및 유입 경로를 조사하기 위한 목적으로 수행되었다.

2. 연구 방법

라돈 검출기는 배경농도 측정을 위한 고감도 장비로 호주 ANSTO (Australian Nuclear Science and Technology Organisation)에서 자체적으로 설계, 제작하였으며, 이 라돈 검출기의 감도는 $0.21 \text{ counts} \cdot \text{sec}^{-1}/\text{Bqm}^{-3}$ 이고, 저검출한계(LDL)는 90 mBq/m^3 이다. 라돈 농도는 2001년 1월부터 2005년 12월까지 총 5년간, 라돈 검출기에 컴퓨터를 연결하여 30분 간격으로 실시간 모니터링하였다(Zahorowski et al., 2005, 2004; Whittlestone et al., 1998).

3. 결과 및 고찰

3.1 라돈 농도의 변동 특성

2001년부터 2005년까지 5년간의 연도별 및 월별 라돈 농도 변화를 그림 1과 2에 비교하였다. 이 기간의 고산지역 전체 평균농도는 $3171 \pm 1653 \text{ mBq/m}^3$ (0.086 pCi/L)로 비교적 낮은 배경농도를 나타내었고, 연도별로는 미소하나마 약간씩 증가하는 추세를 보였다. 또 측정기간의 라돈 농도를 계절별로 비교해 본 결과, 봄, 여름, 가을, 겨울철에 각각 2934 ± 1286 , 2468 ± 1813 , 3635 ± 1606 , $3668 \pm 1566 \text{ mBq/m}^3$ 로 4계절 중에도 겨울에 가장 높은 농도를 보였고, 다음으로 가을, 봄 순이었으며, 여름이 가장 낮은 농도를 나타내었다. 그럼 2에서 보듯이 월별 농도는 Nov > Oct > Jan > Dec > Feb > Mar > Sep > Apr > May > Jun > Aug > Jul의 순으로 높은 농도를 보였고, 11월에 3971 mBq/m^3 로 가장 높은 반면 7월에 2071 mBq/m^3 로 가장 낮은 값을 나타내는 것으로 조사되었다. 또한 일간 라돈 농도를 시간별로 비교해 본 결과, 오전 7시에 3608 mBq/m^3 로 하루 중 가장 높은 농도를 보였고, 오후 2~3시경에 2733 mBq/m^3 로 가장 낮은 농도를 보였다. 그리고 전체적으로는 대체로 야간에 높고 낮 시간에 낮은 농도를 나타내었고, 아침 시간부터 서서히 농도가 낮아지기 시작하여 오후 2시경까지 감소하다가 다시 저녁시간에 농도가 상승하기 시작하여 밤이 되면 점차로 농도가 상승하는 추세를 보였다(김윤신 등, 2000).

3.2 공기 궤적에 따른 라돈 농도 변화

5년간의 측정 결과로부터 라돈 농도가 높은 상위 5%와 높은 하위 5% 시에 5일간의 역궤적 분석(backward trajectory analysis)을 실시하여, 이시기의 기단 이동경로를 추적, 비교하였다. 그림 3의 결과에서 보듯이 라돈 농도는 공기의 유입 경로에 따라 뚜렷한 농도 차이를 나타내었다. 농도가 높은 상위

5%의 경우 대부분 중국 대륙으로부터 공기덩어리(air parcel)가 제주로 이동하였으나 농도가 낮은 하위 5%의 경우에는 공기덩어리가 주로 북태평양에서 제주 지역으로 유입된 것으로 나타났다.

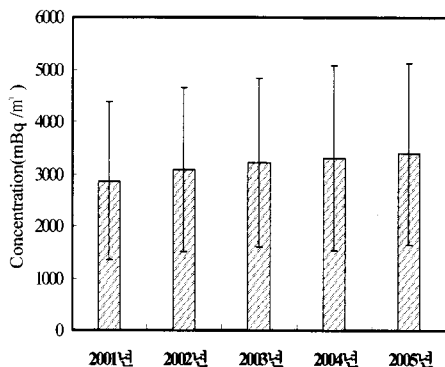


Fig. 1. Annual comparison of ^{222}Rn concentrations (mBq/m^3) between 2001 and 2005.

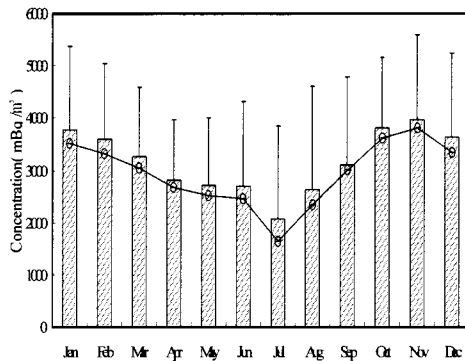


Fig. 2. Monthly mean ^{222}Rn concentrations at Gosan site.

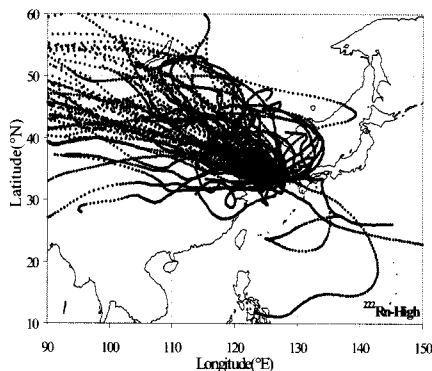


Fig. 3. Five-day backward trajectories corresponding to high & low 5 % of ^{222}Rn concentrations.

사사

이 논문은 2006년도 정부재원(교육인적자원부 학술연구조성사업비)으로 한국학술진흥재단의 지원을 받아 연구되었음(KRF-2006-311-C00614).

참고문헌

- 김윤신, 이철민, 김현탁, 이홍석, 박태슬 (2000) 서울시 일부 대기 중 라돈농도의 분포에 관한 연구, 환경과 산업의학, 9(1), 49-53.
- Whittlestone, S. and W. Zahorowski (1998) Baseline radon detectors for shipboard use: Development and deployment in the First Aerosol Characterization Experiment (ACE 1), J. Geophys. Res., 103(D13), 16743-16751.
- Zahorowski, W., S. Chambers, T. Wang, C.H. Kang, I. Uno, S. Poon, S.N. Oh, S. Werczynski, J.Y. Kim, and A. Henderson-Sellers (2005) Radon-222 in boundary layer and free tropospheric continental outflow events at three ACE-Asia sites, Tellus B, 57(2), 124-140.
- Zahorowski, W., S.D. Chambers, and A. Henderson-Sellers (2004) Ground based radon-222 observations and their application to atmospheric studies, Journal of Environmental Radioactivity, 76, 3-33.

